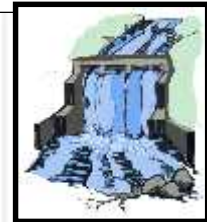




Τμήμα Δασολογίας & Διαχείρισης Περιβάλλοντος & Φυσικών Πόρων
Εργαστήριο Διευθέτησης Ορεινών Υδάτων και Διαχείρισης Κινδύνου
Προπτυχιακό Πρόγραμμα Σπουδών



μ

μ

μ

,

· · · · ·

μ

μ

μ

μ (

,

,

),

μ

μ

μ

,

μ

,

μ

(

,

μ , μ).

μ

μ

μ

μ

μ

μ

:

μ

•

μ

μ

(

,

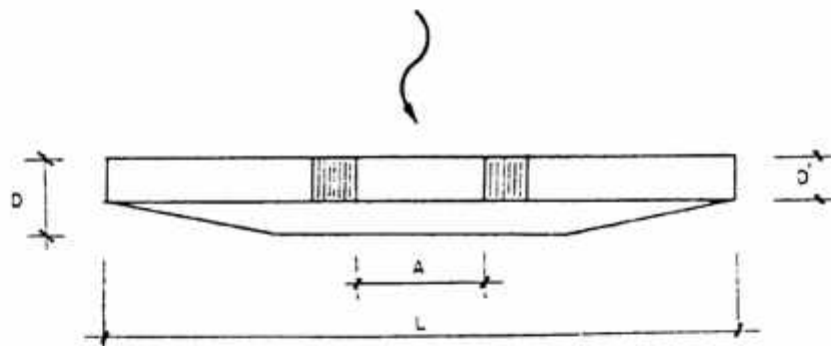
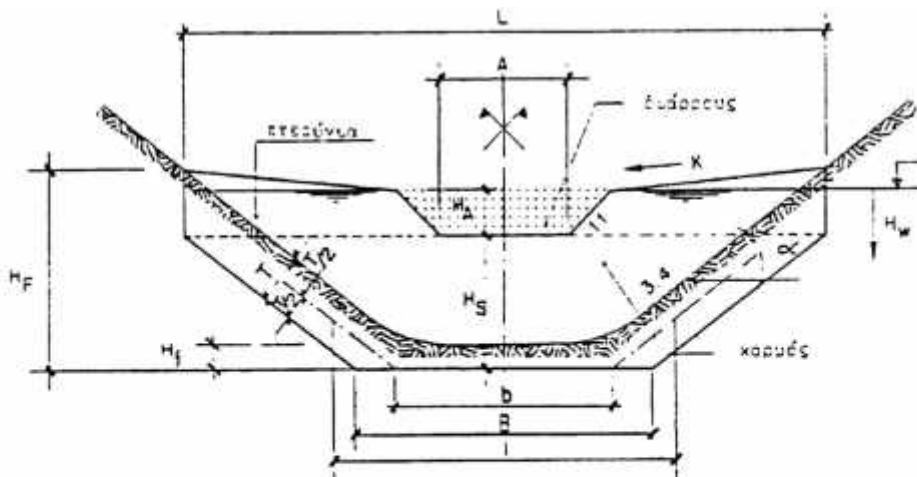
μ

μ

μ

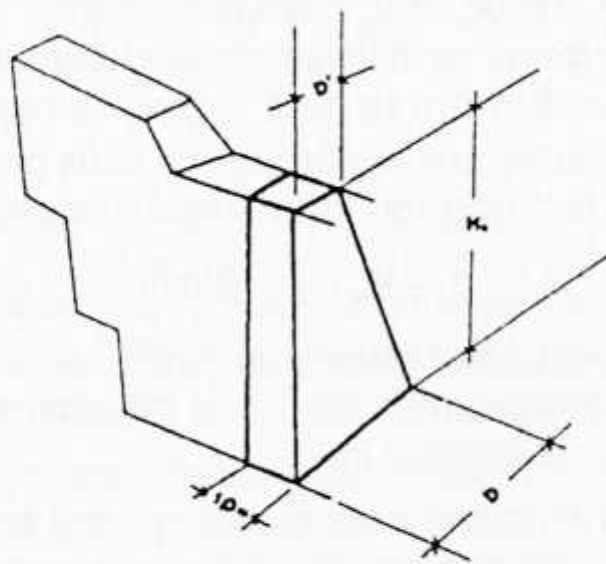
μ

μ



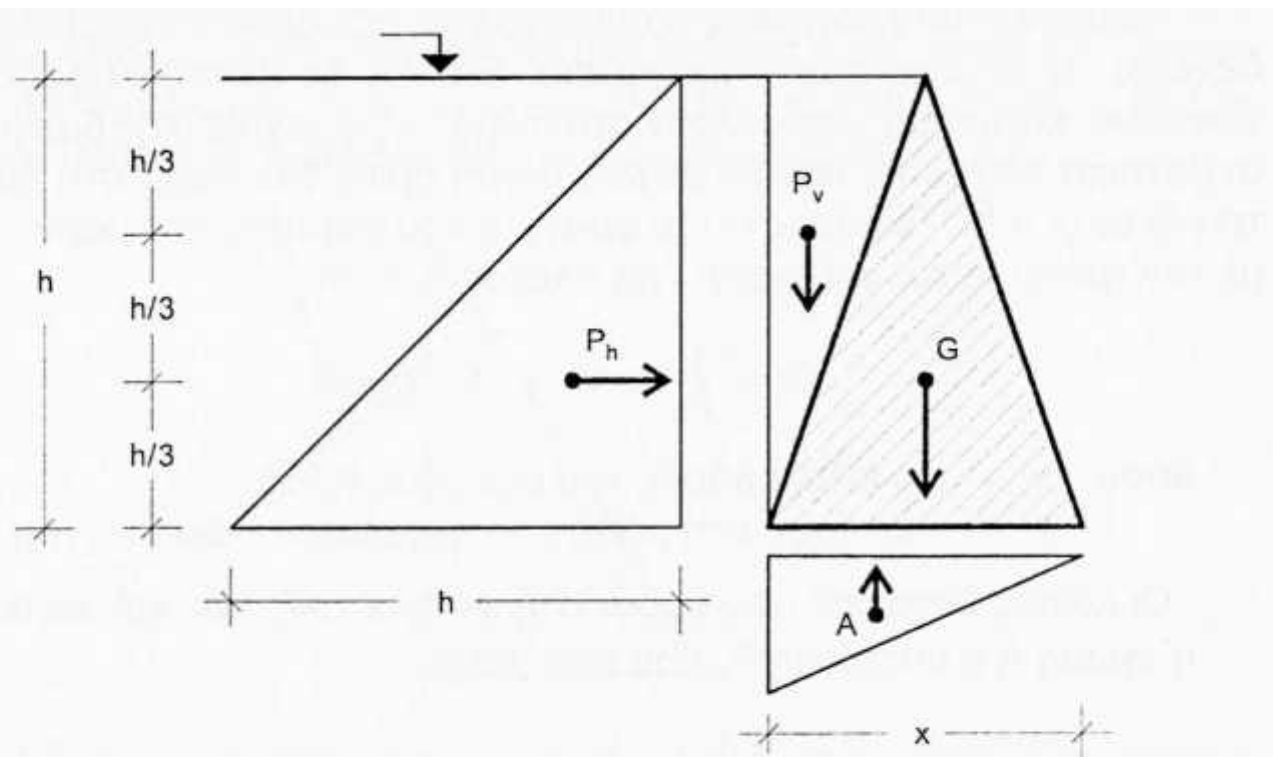
- B = Πλάτος (άνοιγμα) φράγματος στα θεμέλια
- L = Πλάτος (άνοιγμα) φράγματος στα πτερύγια
- A = Πλάτος (άνοιγμα) του διάρρου στη στέψη
- H_A = Βάθος (ύψος) διάρρου
- H_S = Ύψος φράγματος έως τη στέψη
- H_F = Συνολικό ύψος φράγματος (μαζί με τις κλίσεις των πτερυγίων)
- D = Πάχος φράγματος στη βάση
- D' = Πάχος στέψης
- T = Βάθος θεμελίωσης στα πρανή
- a = Γωνία κλίσης των πρανών
- K = Κλίση στη στέψη των πτερυγίων
- I = Στατικό πλάτος (άνοιγμα) μιας φραγματικής λωρίδας

μ , μ ,
μ , μ ,
(1m).



Σχήμα : Ιδεατή διατομή χειμαρρικού φράγματος βάρους με μοναδιαίο πλάτος (1 m), στην οποία γίνεται ο έλεγχος της ευστάθειάς του

μ ,
,
,
,
,



Σχήμα : Οι δυνάμεις που δρούν σε μια τυπική φραγματική διατομή βάρους

$$\mu \rightarrow P_h,$$

μ

μ

μ

) μ

μ

3

,

¶

μ .

μ

μ

μ

μ

μ

$$p = \chi_w \cdot h \quad (\text{t/m}^2)$$

$$\begin{aligned}w &= \\h &=\end{aligned}$$

$$\frac{t/m^3}{\mu(m)}$$

三

μ P_h , μ . μ μ ,
 μ , μ (μ μ ,
 μ μ (μ 1m):

$$P_h = \frac{1}{2} \cdot h^2 \cdot x_w \cdot 1 \quad (\text{t/m}^3)$$

$$G = \frac{1}{2} \cdot x \cdot h \cdot x \cdot 1 \quad (\text{t/m}^3)$$

$$= \mu \quad (\text{t/m}^3)$$

μ (m)

•

μ

μ

μ

⋮

P_s

μ

μ

⋮

$$A = \frac{1}{2} \cdot \} \cdot h^2 \cdot x \cdot x_w \cdot 1 \quad (\text{t/m}^3)$$

=

•

(

,

)

μ

μ

μ

⋮

$$P_v = \frac{1}{2} \cdot x_v \cdot h \cdot x_w \cdot 1 \quad (\text{t/m}^3)$$

$$P_v = \frac{1}{2} \cdot x_v \cdot h \cdot x_e'' \cdot 1 \quad (\text{t/m}^3)$$

=

e'' =

(m)

(t/m³)

μ

μ

μ

μ ,

μ

,

μ

μ

μ

μ

μ

μ

μ

1

1

1

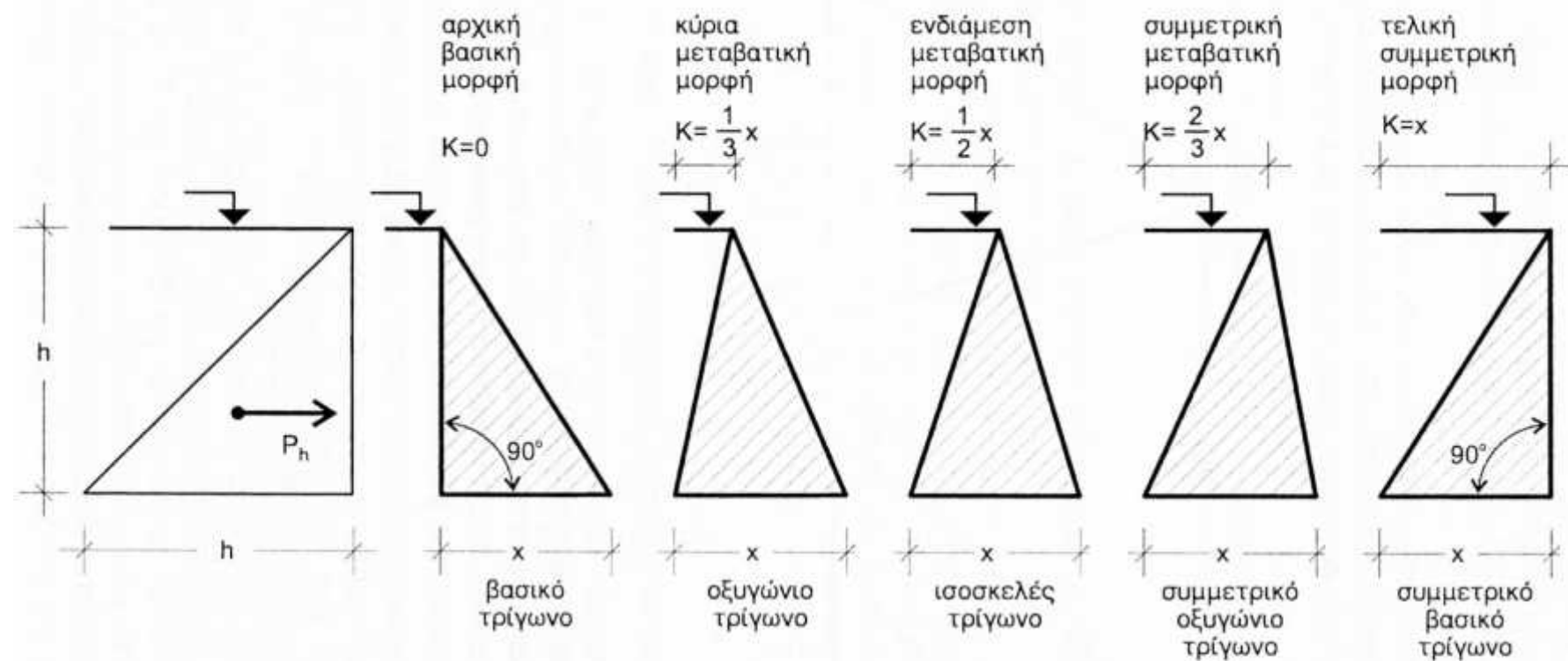
1

1

μμ

μ

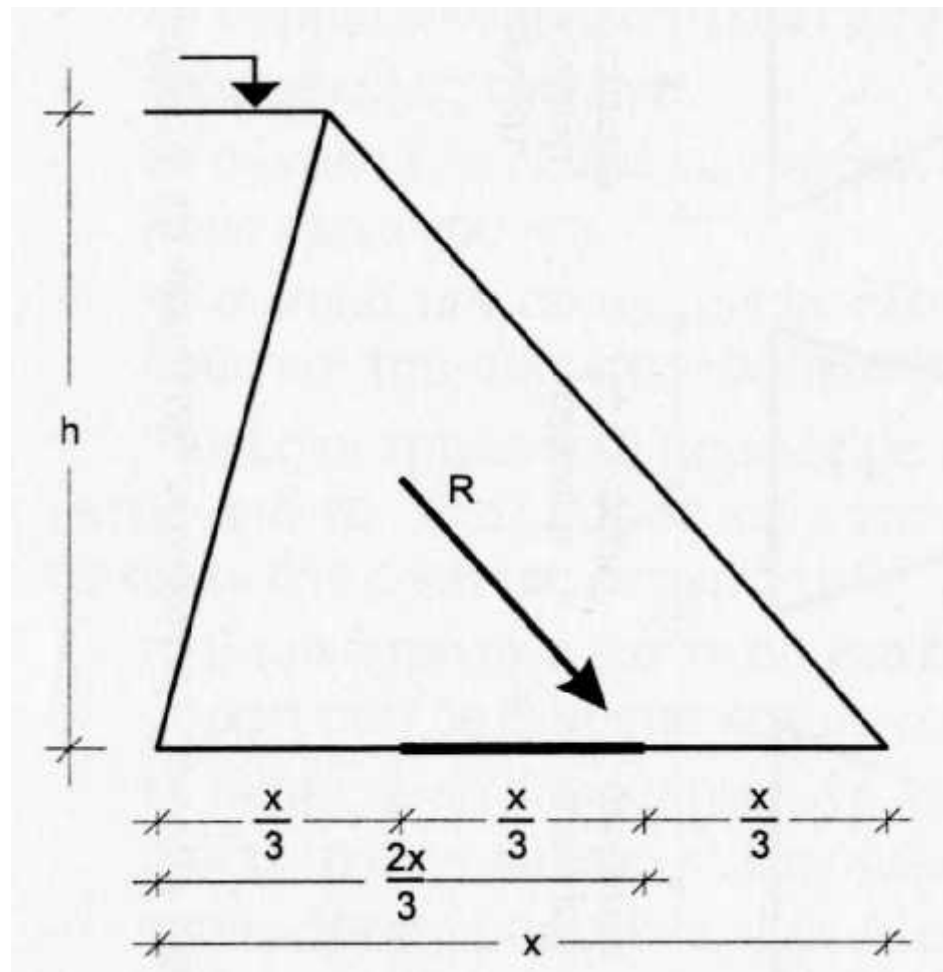
μμ



Σχήμα : Τυπικές (αντιπροσωπευτικές) μορφές τριγωνικών διατομών σε φράγματα βάρους

11

μ ,
 μ R
 μ (, μ , μ)
 μ .
 μ R
 μ :
□
 μ (, $\frac{2}{3}x$ μ),

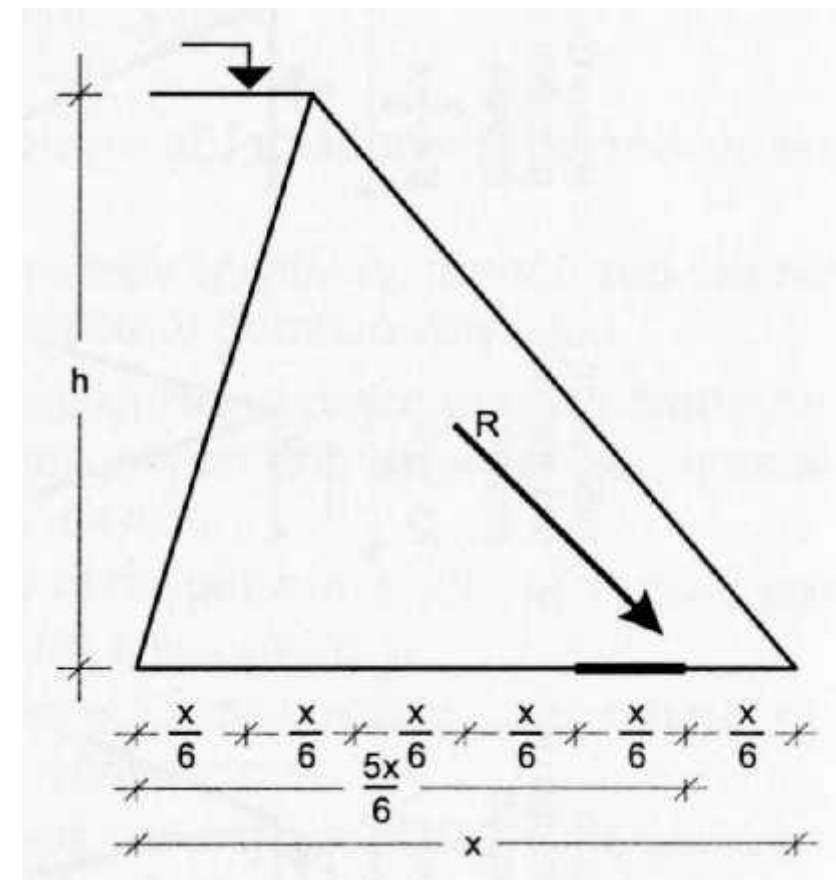


μ

μ



μ (), μ , μ ,
 μ .



μ

μ

μ

μ ,
 μ

μ

,

μ

μ :

$$x = A_x \cdot h$$

$$x = h \cdot \sqrt{\frac{x_w}{A_1 x_b + A_2 x_{w,e} - A_3}}$$

1:

2:

μ

3:

b:

w,e:

G

P_v (

)

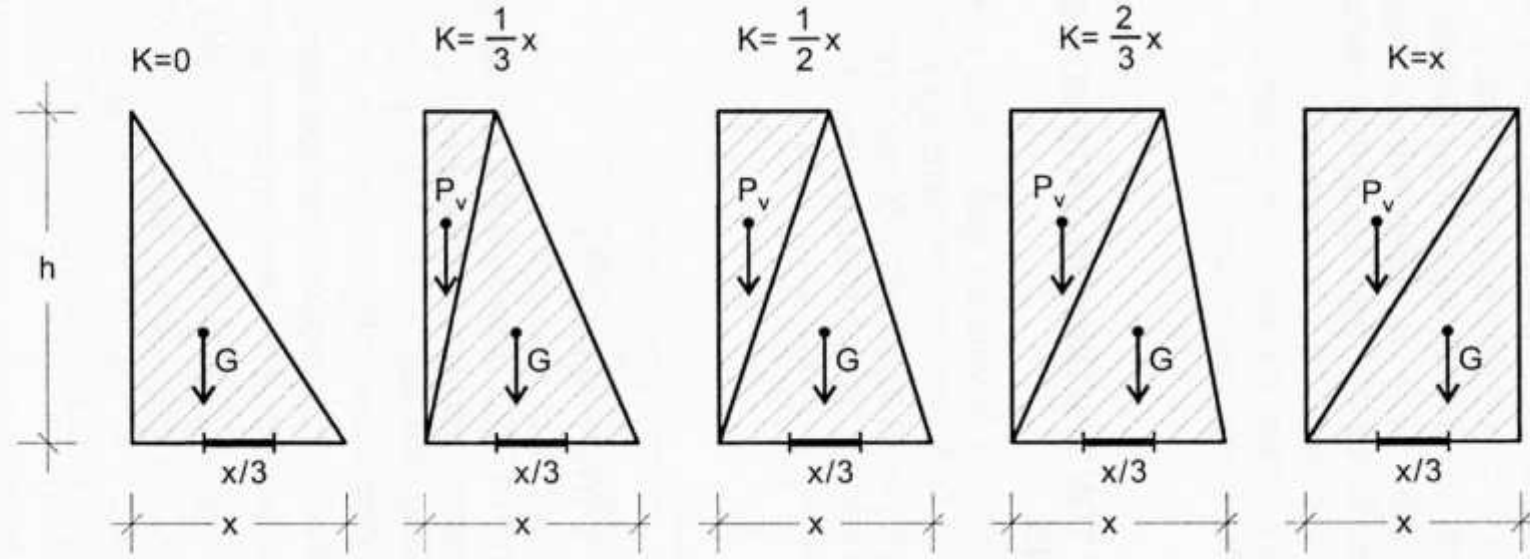
μ

P_s

μ (t/m^3)

(w: , e:

) (t/m^3)



Σχήμα : Οι τυπικές μορφές της φραγματικής διατομής βάρους, οι αντίστοιχες επιφορτίσεις P_v (υδροστατικές, γαιών) και οι στατικές μορφές της φραγματικής διατομής, που προκύπτουν από το άθροισμά τους

1. $(\mu, \mu, \mu, \mu, \mu, \mu, \mu, \mu, \mu, \mu)$:
 • μ , μ
 • , μ
 , μ , μ , μ , μ , μ , μ , μ , μ , μ , μ
 $5/6x$ μ , μ
 μ , μ
 μ , ., μ , μ
 $5m,$ μ , μ
 R , μ , μ
2. $(\mu, \mu, \mu, \mu, \mu, \mu, \mu, \mu, \mu, \mu) = 3/4$, $(\mu, \mu, \mu, \mu, \mu, \mu, \mu, \mu, \mu, \mu) = 9/10$
3. $(\mu, \mu, \mu, \mu, \mu, \mu, \mu, \mu, \mu, \mu)$:

μ

μ

μ

μ

μ

(μ

μ

$$H_s + H_A = 8m),$$

$$\mu$$

μ

μ

$$\begin{matrix} \mu \\ H_h \\ \mu \end{matrix}$$

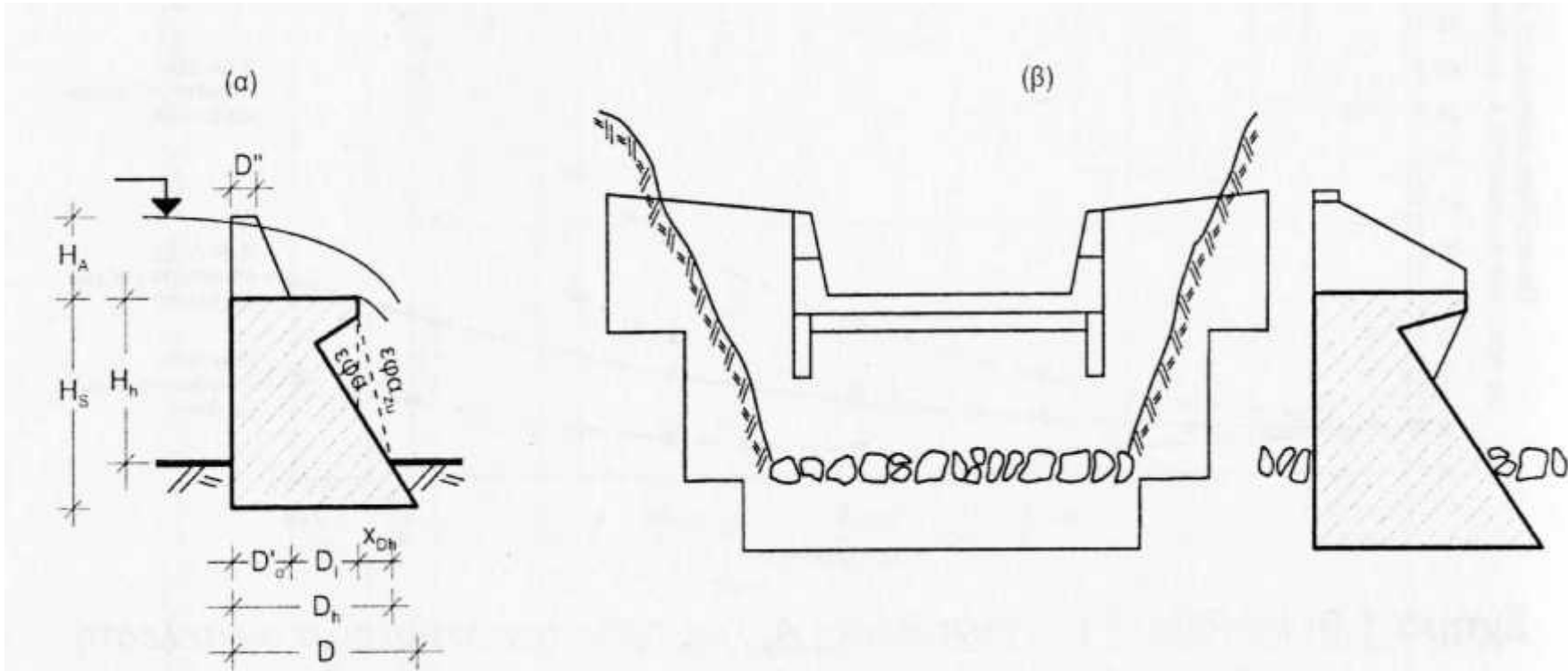
μ

μ

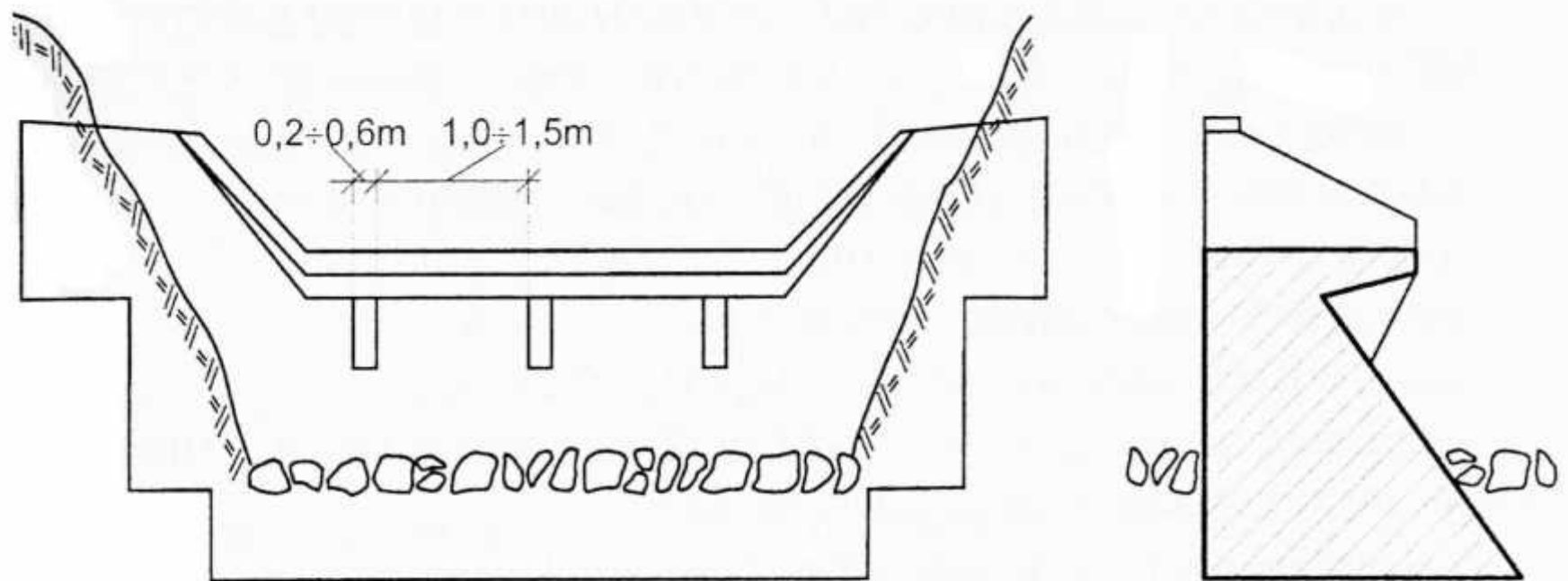
, μ

5

$$b = 2,4 \text{ t/m}^3$$



Σχήμα : (a) Προσαρμογή του βασικού τριγώνου σε φράγματα-εκχειλιστές, (β) φράγμα με ρύγχος και πλευρικά τοιχία που προεκτείνονται και κάτω από τη στέψη έως το κατάντες μέτωπο



Σχήμα : Υποστήριξη ρύγχους με κονσόλες

Μέθοδοι Διαστασιολόγησης Χαμηλών Φραγμάτων Βάρους

Διαστασιολόγηση χαμηλών φραγμάτων βάρους ($H_s + H_A \leq 30m$)
από σκυρόδεμα και από λιθοδομή με κονίαμα

$$H_s + H_A \quad 8,0 \text{ m}$$

$$\mu \quad \mu \quad \mu$$

1. μ μ μ :

μ

- $H_h:$ $\mu \quad \mu \quad (m)$
- $H_f:$ $(\mu \quad \mu) \quad \mu \quad (m)$
- $H_A:$ (m)

- $H_s = H_h + H_f:$ $\mu \quad \mu \quad (m)$
- $H_s + H_A:$ $\mu \quad 8,0 \text{ m} \quad (m)$

$\mu :$

- $R \quad 2/3 : H_s + H_A \quad 8,0 \text{ m}$
- $R \quad 5/6 : H_s + H_A \quad 5,0 \text{ m}$

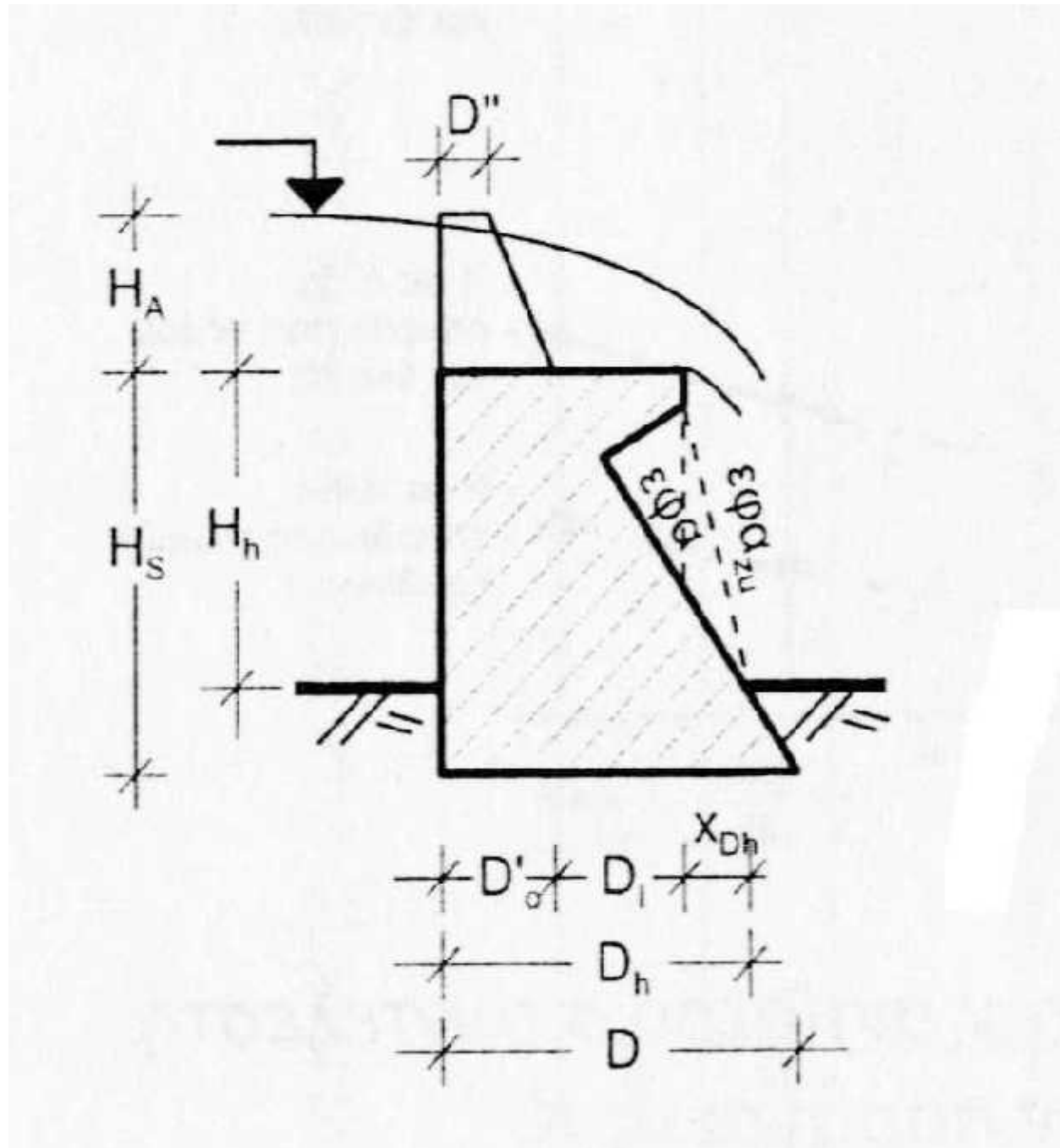
$\mu \quad \mu$

- $\mu : 0,75 \text{ m}$
- $\mu : 2,00 \text{ m}$
- $\mu : 3,50 \text{ m}$

μ

- $\mu \quad B160 \text{ (C12/15)} \quad \mu_b : 2,4 \text{ t/m}^3$
- $\mu : 25\%$
- $\mu \quad (\mu = 2,3 \sim 2,4 \text{ t/m}^3)$

$\mu \quad St I \quad S220$



2.

,

μ

:

$\mu \quad \mu$

μ

□

μ

h_{zu}

μ

:

a)

$R \longrightarrow 2/3 \cdot x:$

$$h_{zu} = 0,84 \cdot \frac{x_{zu}}{x_b} \quad (\text{m})$$

zu:

$\mu \quad (t/m^2)$

b:

$\mu \quad (\quad \mu \quad 2,4 \text{ t/m}^3)$

b)

$R \longrightarrow 5/6 \cdot x:$

$$h_{zu} = 0,42 \cdot \frac{x_{zu}}{x_b} \quad (\text{m})$$

zu:

$\mu \quad (t/m^2)$

b:

$\mu \quad (\quad \mu \quad 2,4 \text{ t/m}^3)$

□

$$H_s + H_A \leq h_{zu}$$

3.

μ

D

μ

:

□

:

•

$\mu \quad H_s + H_A \quad 8,0 \text{ m}$

•

$\mu \quad \rho: 2,4 \text{ t/m}^3$

•

μ

D

μ

μ

,

$= 0 \text{ (}$

μ

a)

R \longrightarrow $2/3 \cdot x (\mu):$

$$D = 0,65 \cdot (H_s + H_A) \quad (\text{m})$$

b)

R \longrightarrow $5/6 \cdot x (\mu):$

$$D = 0,53 \cdot (H_s + H_A) \quad (\text{m})$$

(

$\mu \quad H_s + H_A \quad 5,0 \text{ m})$

4.

μ

μ

μ :



μ :

()



μ :

μ μ

$$v\{r = \frac{D}{H_s + H_A}$$



μ

μ

,

μ

,



: zu = 1:5 = 0,20



Wehrman: zu = 1:4 = 0,25

$$5. \quad \mu \quad (\quad) \quad D_I \quad ($$

$\text{h}:$

$$D_I + D'_o = D_h - X_{D_h} \quad (\text{m})$$

□ $D_h:$ μ (

$\text{h}:$

a) $R \longrightarrow 2/3 \cdot x: D_h = 0.65 \cdot (H_h + H_A) \quad (\text{m})$

b) $R \longrightarrow 5/6 \cdot x: D_h = 0.53 \cdot (H_h + H_A) \quad (\text{m})$

□ $D': \mu$

:

a) $R \longrightarrow 2/3 \cdot x: D'_o = 0.65 \cdot H_A \quad (\text{m})$

b) $R \longrightarrow 5/6 \cdot x: D'_o = 0.53 \cdot H_A \quad (\text{m})$

□ $D_I: \mu$

D_I

μ
Wehrman:

$$= 0,25$$

μ : $= 0,20$ (

D_h

: $= 0,20$

$$X_{D_h} = \text{VWR}_{zu} \cdot H_h \quad (\text{m})$$

6.

μ

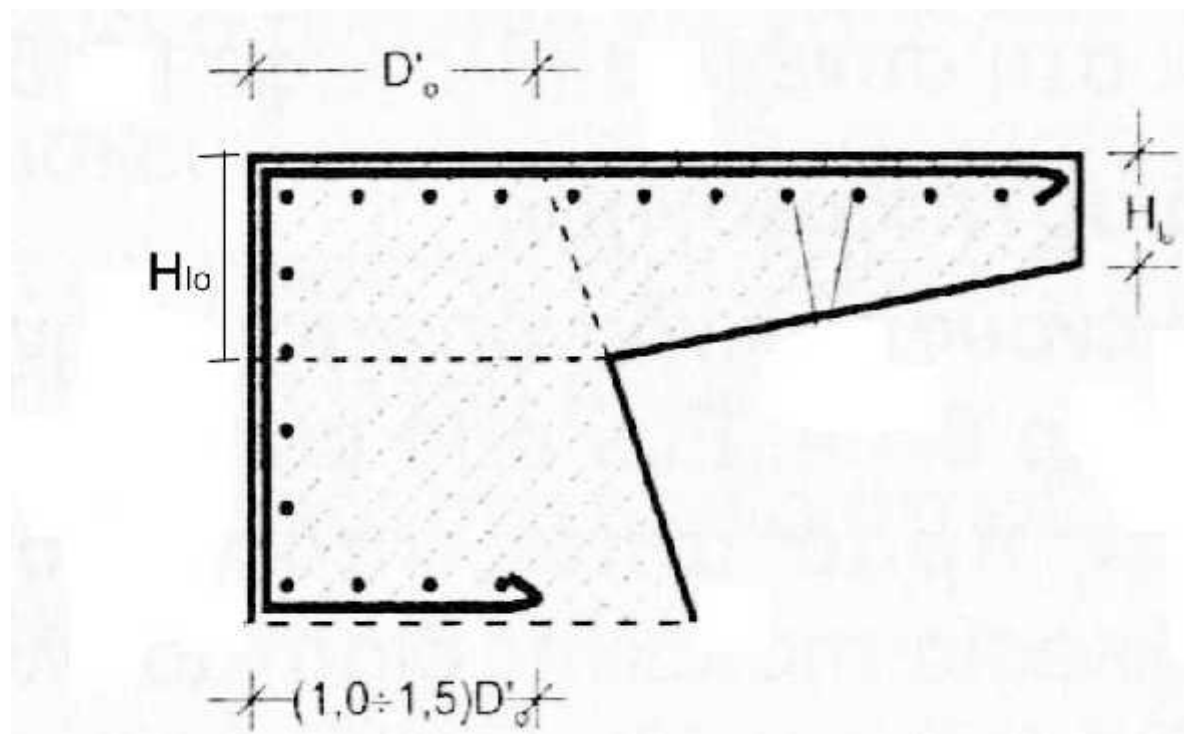
:



: $H_{lu} = 0,20 \sim 0,50 \text{ m}$



: $H_l = 0,20 \sim 1,20 \text{ m}$



7.

$D_l < 0,50 \text{ m}$:

$D_l = 0,80 \text{ m}$:

μ

$0,30 - 0,60 \text{ m}$

$1,0 - 1,5 \text{ m}$

μ

▪ **$D_l < 2,5 \text{ m}$:**

○ $H_h = 4,0 \text{ m}:$ 5 16, 16/20

○ $H_h > 4,0 \text{ m}:$ 5 18, 18/20

▪ **$D_l = 2,5 - 4,0 \text{ m}$:**

○ ' μ : 5 18, 18/20

○ μ μ $D_l < 3,2 \text{ m}:$ $D_l / 2$

μ μ 5 20, 20/20
5 18, 18/20

μ $H_h > 4,0 \text{ m}:$

▪ **$D_l > 4,0 \text{ m}$:**

○ ' μ μ
4 8, 8/25, 5 18, 18/20 μ 4 10, 10/25

○ μ 5 cm.

○ μ , :

μ

μ

μ

,

μ :

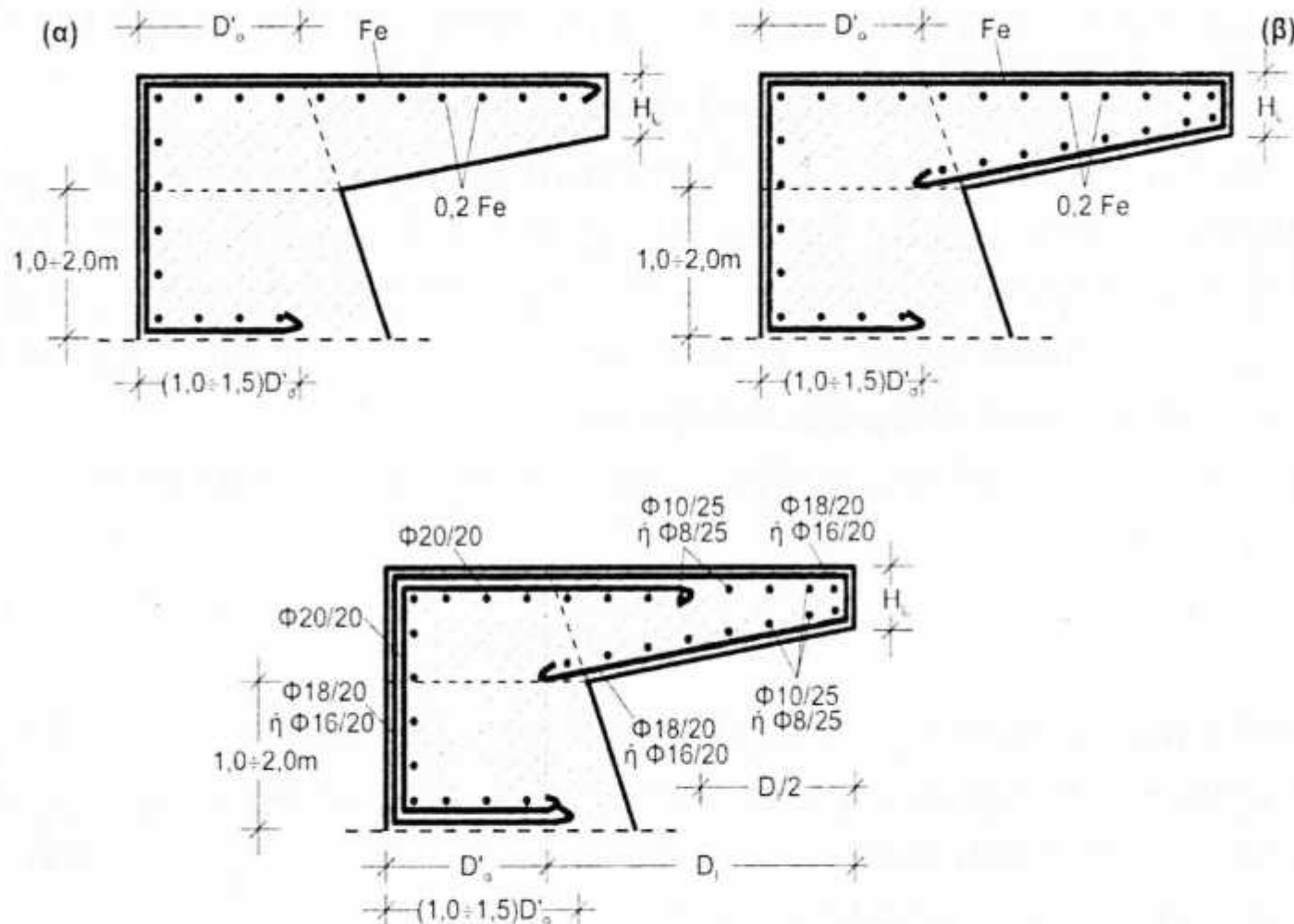
μ μ

μ

μ

μ

.



Σχήμα : Οπλισμός σε ρύγχος με διανομή απλή (α) ή προεκτεινόμενη (β), καθώς και ενισχυμένος οπλισμός (γ) για $D_l < 4,0 \text{ m}$

8.

μ

D''

:

:

$$D'' = 0,20 \sim 0,50 \text{ m}$$

9.

μ :

μ

μ

μ

\square

, μ

0,20 – 0,50 m

μ

2/3

\square

μ

μ

\square

,

,

\square

μ

μ

μ

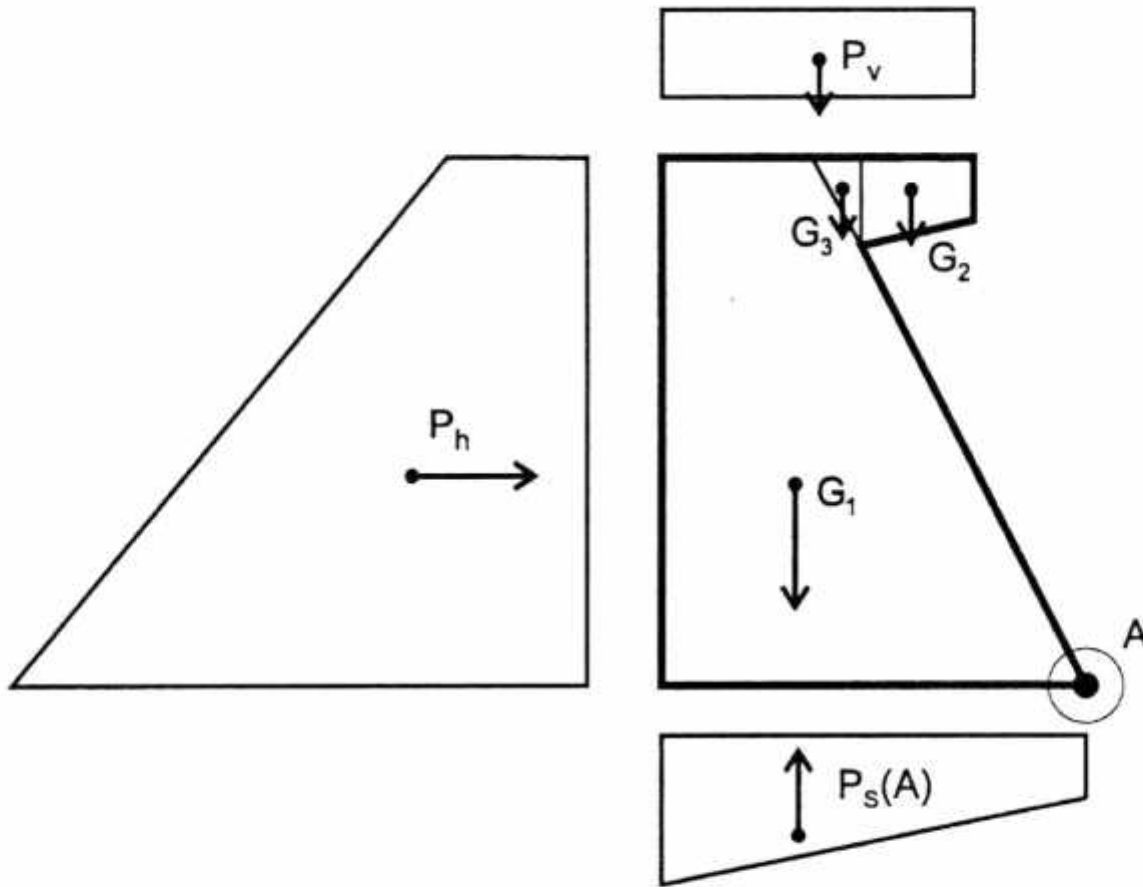
μ

μ

Απλοποιημένη Αναλυτική Μέθοδος Ελέγχου της Ευστάθειας των Φραγμάτων Βάρους

Δυνάμεις και Ροπές

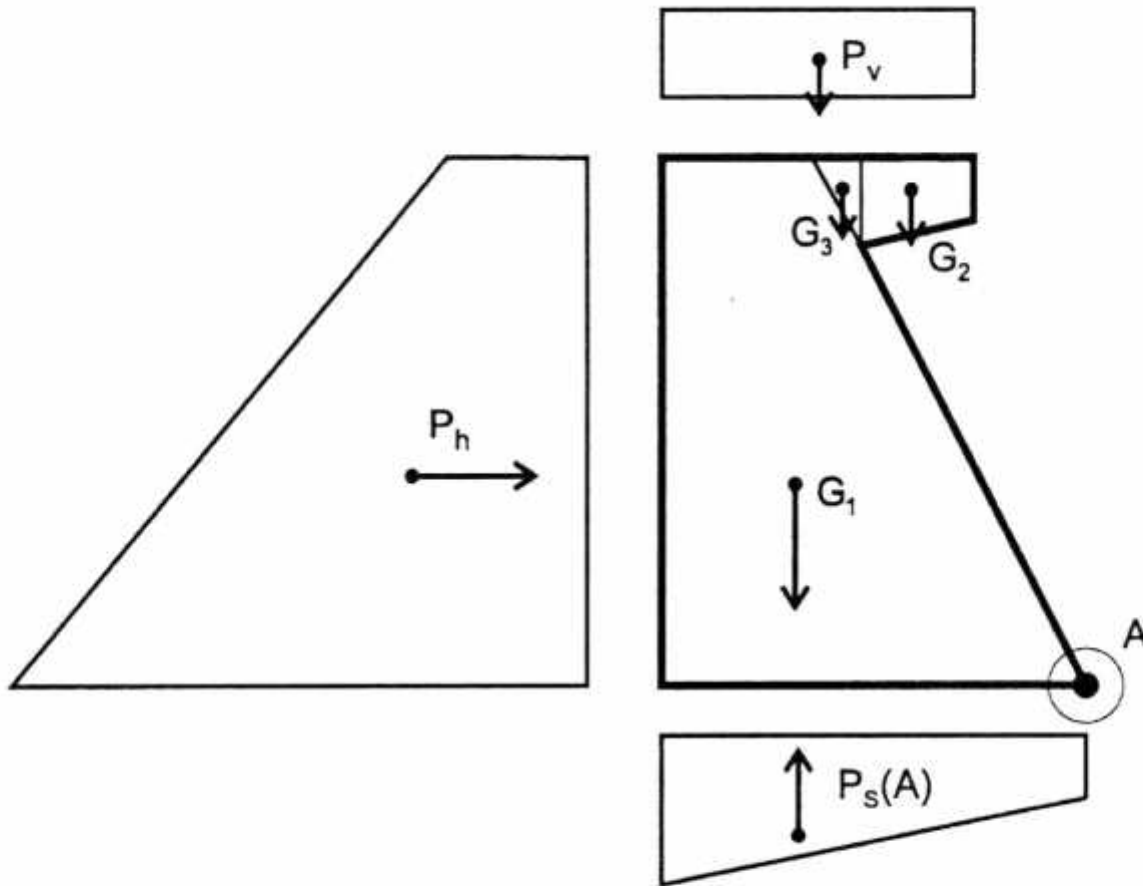
Δρώσες Δυνάμεις



Σχήμα : Δρώσες δυνάμεις και θέση αναφοράς ροπών (σημείο A) σε διατομή φράγματος βάρους

- μ μ
□ μ
 μ μ μ μ : $\mathbf{G}_1, \mathbf{G}_2, \mathbf{G}_3, \mathbf{P}_h,$
 $\mathbf{P}_k, \mathbf{P}_s(t).$
 μ μ $H_s + H_A < 8,0 \text{ m}$
 μ μ μ μ
□
 μ
 $($ μ μ μ $)$, μ μ :
 $\mathbf{I}_{G1}, \mathbf{I}_{G2}, \mathbf{I}_{G3}, \mathbf{I}_{Ph}, \mathbf{I}_{Ps}, (m).$
□
 μ , μ , μ : $\mathbf{M}_{G1} = \mathbf{G}_1 \cdot \mathbf{I}_{G1}, \quad \mathbf{M}_{G2} = \mathbf{G}_2 \cdot \mathbf{I}_{G2}, \quad \mathbf{M}_{G3} = \mathbf{G}_3 \cdot \mathbf{I}_{G3}$
 $\mathbf{M}_{Ph} = \mathbf{P}_h \cdot \mathbf{I}_{Ph}, \quad \mathbf{M}_{Ps} = \mathbf{P}_s \cdot \mathbf{I}_{ps} (\text{mt}).$

Δρώσες Δυνάμεις



Σχήμα : Δρώσες δυνάμεις και θέση αναφοράς ροπών (σημείο A) σε διατομή φράγματος βάρους

$$H_s + H_A \approx 4,0 \sim 8,0 \text{ m}$$

μ

μ

1.

μ

$$n_k = \frac{\sum M_s}{\sum M_u} > 1,2$$

$M_s:$

(mt)

$M_u:$

(mt)

2.

μ

$$X_R = \frac{\sum M_I - \sum M_r}{\sum K_v}$$

$M_I:$

$M_r:$

$K_v:$

(mt)

(mt)

μ (t)

o

$$R \rightarrow 2/3 \cdot x$$

$$R \quad D/3$$

o

$$R \rightarrow 2/3 \cdot x$$

$$R \quad D/6$$

,

D

μ

.

3.

$$n_G = \frac{\sum K_w}{\sum K_t} = \frac{N \cdot \text{vwv}}{\sum K_t} \geq 1,2$$

$$\begin{array}{ccccccccc} w & : & \mu & & & \mu & & (t) \\ t & : & \mu & & (t) & & & \\ : & & & & \mu & & (t) & \\ & : & & & , & \mu & & \\ & & & & & & & : \end{array}$$

			0,70
		μ	0,45
!!!			
	μμ		
		•	0,64
		•	0,45
		•	0,30

,

μ

$$\frac{N \cdot \text{VWW}}{\sum K_t} = \frac{\text{VWW}}{\text{VWa}} = V$$

□

$$\frac{\text{VWW}}{\text{VWa}} = V \quad \text{VWr} = \frac{\text{VWW}}{V} \rightarrow a_1^{(o)}$$

□

$$\frac{\text{VWW}}{\text{VWa}} = 1,2 \quad \text{VWr} = \frac{\text{VWW}}{1,2} \rightarrow a_2^{(o)}$$

□

$$(\mu_1 - \mu_2) = (\mu_{1-2})$$

□

$$(\mu_1 - \mu_2) = (\mu_{1-2})$$

$$D \cdot \text{VW}(a_{1-2}) = (\text{m})$$

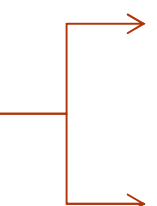
4.

□

•

$$e = \frac{D}{2} - X_R \quad (\text{m})$$

•

$$\tau_{\epsilon} = \frac{N}{D} \cdot \left(1 \pm \frac{6 \cdot e}{D} \right)$$

$$\begin{aligned} & \rightarrow \tau_{\epsilon_u}(\tau_{\epsilon u} | \tau_{\epsilon v} | \tau_{\epsilon g}) \quad (t/m^2) \\ & \rightarrow \tau_{\epsilon_o}(\tau_{\epsilon o} | \tau_{\epsilon v} | \tau_{\epsilon g}) \quad (t/m^2) \end{aligned}$$

$$n_p = \frac{\tau_{zu}}{\tau_{vu}} \geq 1, 2$$

4.



$$\max_{\substack{u: \\ R \rightarrow 5/6 \cdot x}} \mu$$

$$\max \dagger_{\epsilon_u} = \frac{2 \cdot N}{3 \cdot X_R} \quad (t/m^2)$$

$$n_p = \frac{\dagger_{zu}}{\max \dagger_{vu}} \geq 1,2$$

μ

,

u

max u,

μ

4.



$$i_v = \frac{\Delta H}{S_v} = \frac{H_h}{H_f + D + H_f}$$

$$n_g = \frac{i_k}{i_v} = \frac{1,17}{i_v} \geq 2,5$$

n_g 1,2

n_g 2,5

μ μ

μ μ

μμ

.

4.

$$n_A = \frac{\sum K_v}{A} = \frac{\sum K_v}{P_s} > 1,20$$

$$\begin{matrix} v: & \mu & (t) \\ P_s: & & (t) \end{matrix}$$

$H_s + H_A \quad 3,5 \sim 4,0 \text{ m}$ μ μ
 $\mu \quad \mu$
 $\mu \quad \mu$
 \cdot
 $\mu \quad \mu$
 $\mu \quad \mu$
 $\mu \quad \cdot$
 $\mu \quad \mu$
 $\mu \quad \mu$
 $(\quad_{zu} \cong 20 \sim 25\%)$ μ $(\quad \cong 12\%)$
 $vwr_{zu} - vwr \cong 0,10$
 μ , μ D
 $D_{f...} \cong 0,12 \cdot (H_s + H_A)$
 $H_s + H_A = 4,0 \text{ m}$
 $D_{f...} \cong 0,12 \cdot (H_s + H_A) \cong 0,50m$
 $\mu \quad \mu \quad) \mu \quad \mu \quad (\quad \mu$
 $\mu \quad \mu \quad) \mu \quad \mu \quad , \mu$